



INSTITUTO TECNOLÓGICO DA AERONAUGRÁFICA (ITA)
DEPARTAMENTO DE TELECOMUNICAÇÕES - IEET
EET-50 - PRINCÍPIOS DE COMUNICAÇÕES

FELIPE KELLER BALTOR

EXAME

SÃO JOSÉ DOS CAMPOS/SP
2024

Introdução

O presente relatório visa explorar os princípios da comunicação digital na forma de exercícios, finalizando com a implementação de uma rotina de transmissão adaptativa. Serão consideradas as principais dimensões de performance de um sistema de comunicação, a saber, taxa de erro (por símbolo e por bit), razão sinal ruído e eficiência espectral. Os resultados teóricos apresentados durante o curso serão contrapostos à resultados simulados utilizando o Método de Monte Carlo.

Exercício 1

Estime, através de simulação computacional (método de Monte Carlo), a probabilidade de erro de simbolo (P_e) em função da razão E_b/N_0 , para um canal AWGN de média zero e PSD $N_0/2$. Considere um modelo de simulação em banda base. Para esta questão não é permitido o uso de funções de modulação/demodulação já existentes no Matlab. (a) 2-PAM (BPSK); (b) 4-PAM; (c) 4-QAM (QPSK); (d) 2-FSK

Para o presente exercício iremos utilizar o Python. O preâmbulo a seguir importa as bibliotecas necessárias e define a função Q .

```
1 import numpy as np
2 import matplotlib.pyplot as plt
3 from scipy.special import erfc
4
5 def Q(x):
6     return 0.5 * erfc(x / np.sqrt(2))
```

(a) 2-PAM

Para gerar os dados simulados, utilizamos o trecho a seguir:

```
1 symbols_constellation = np.array([-1, 1])
2 M = 2
3 k = np.log2(M)
4 snr_db_range = np.arange(0, 11, 1)
5 symbol_sequence_length = int(1e6)
6
7 def simulate_ser_2pam(snr_db_range, symbol_sequence_length):
8     ser = []
9     for snr_db in snr_db_range:
10         snr_linear = 10**(snr_db / 10.0)
11         snr_symbol = snr_linear * k
```

```

12     energy_symbol = np.mean(symbols_constellation**2)
13     sigma = np.sqrt(energy_symbol/(2*snr_symbol))
14     noise = sigma * np.random.randn(symbol_sequence_length)
15     signal = np.random.choice(symbols_constellation, symbol_sequence_length
16                               )
17     signal_with_noise = signal + noise
18     signal_demod = [1 if symbol > 0 else -1 for symbol in signal_with_noise
19                    ]
20     signal_demod = np.array(signal_demod)
21     num_errors = np.sum(signal != signal_demod)
22     ser.append(num_errors / symbol_sequence_length)
23     return ser
24
25 simulated_ser = simulate_ser_2pam(snr_db_range, symbol_sequence_length)

```

Já para implementar o resultado teórico, foi utilizado o seguinte trecho:

```

1 def theoretical_ser(M, snr_db):
2     snr_linear = 10**(snr_db / 10.0)
3     Q_arg = np.sqrt(((6*np.log2(M))/(M**2 - 1)) * snr_linear)
4     return 2 * (1 - 1/M) * Q(Q_arg)
5
6 theoretical_ser = theoretical_ser(M, snr_db_range)

```

Os resultados foram plotados com a seguinte rotina:

```

1 plt.figure(figsize=(10, 6))
2 plt.semilogy(snr_db_range, simulated_ser, 'bo-', label='Simulated 2-PAM')
3 plt.semilogy(snr_db_range, theoretical_ser, 'r-', label='Theoretical 2-PAM')
4 plt.grid(True, which='both')
5 plt.xlabel('Eb/N0 (dB)')
6 plt.ylabel('Symbol Error Rate (SER)')
7 plt.title('Symbol Error Rate vs. Eb/N0 for 2-PAM')
8 plt.legend()
9 plt.show()

```

O resultado obtido foi então:

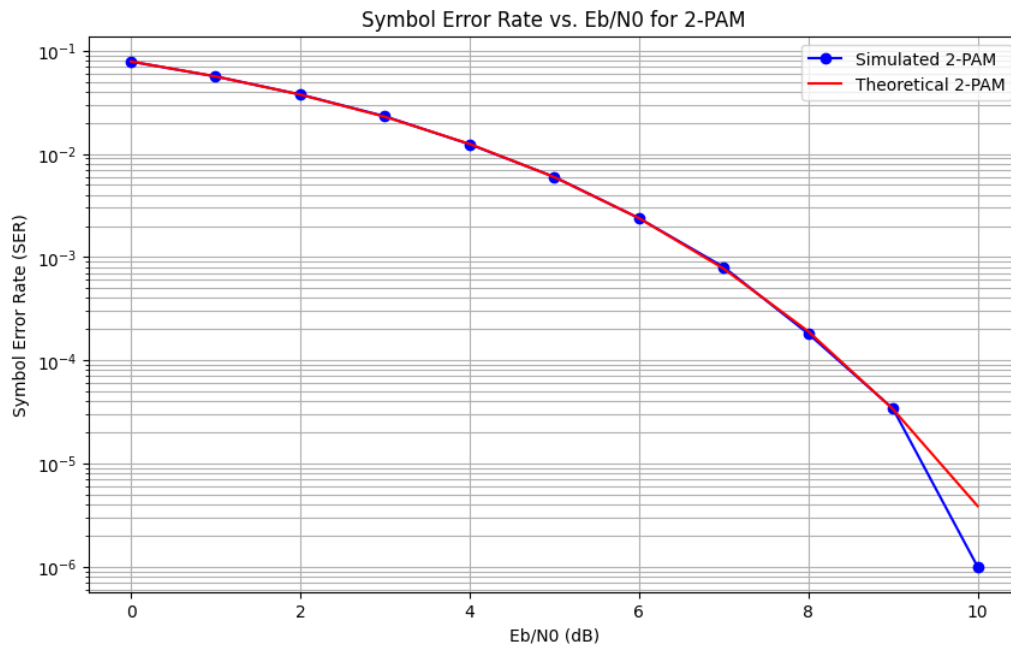


Figura 1: 2-PAM.

(b) 4-PAM

Analogamente ao caso anterior, temos a seguinte rotina para a simulação:

```

1 symbols_constellation = np.array([-3, -1, 1, 3])
2 M = 4
3 k = np.log2(M)
4 snr_db_range = np.arange(0, 11, 1)
5 symbol_sequence_length = int(1e7)
6
7 def simulate_ser_4pam(snr_db_range, symbol_sequence_length):
8     ser = []
9     for snr_db in snr_db_range:
10         snr_linear = 10**(snr_db / 10.0)
11         snr_symbol = snr_linear * k
12         energy_symbol = np.mean(symbols_constellation**2)
13         sigma = np.sqrt(energy_symbol/(2*snr_symbol))
14         noise = sigma * np.random.randn(symbol_sequence_length)
15         signal = np.random.choice(symbols_constellation, symbol_sequence_length)
16         signal_with_noise = signal + noise
17         signal_demod = [-3 if symbol < -2 else -1 if symbol < 0 else 1 if
            symbol < 2 else 3 for symbol in signal_with_noise]
```

```

18     signal_demod = np.array(signal_demod)
19     num_errors = np.sum(signal != signal_demod)
20     ser.append(num_errors / symbol_sequence_length)
21     return ser
22
23 simulated_ser = simulate_ser_4pam(snr_db_range, symbol_sequence_length)

```

A parte teórica:

```

1 def theoretical_ser(M, snr_db):
2     snr_linear = 10**(snr_db / 10.0)
3     Q_arg = np.sqrt(((6*np.log2(M))/(M**2 - 1)) * snr_linear)
4     return 2 * (1 - 1/M) * Q(Q_arg)
5
6 theoretical_ser = theoretical_ser(M, snr_db_range)

```

O plot:

```

1 plt.figure(figsize=(10, 6))
2 plt.semilogy(snr_db_range, simulated_ser, 'bo-', label='Simulated 4-PAM')
3 plt.semilogy(snr_db_range, theoretical_ser, 'r-', label='Theoretical 4-PAM')
4 plt.grid(True, which='both')
5 plt.xlabel('Eb/N0 (dB)')
6 plt.ylabel('Symbol Error Rate (SER)')
7 plt.title('Symbol Error Rate vs. Eb/N0 for 4-PAM')
8 plt.legend()
9 plt.show()

```

E o seguinte resultado:

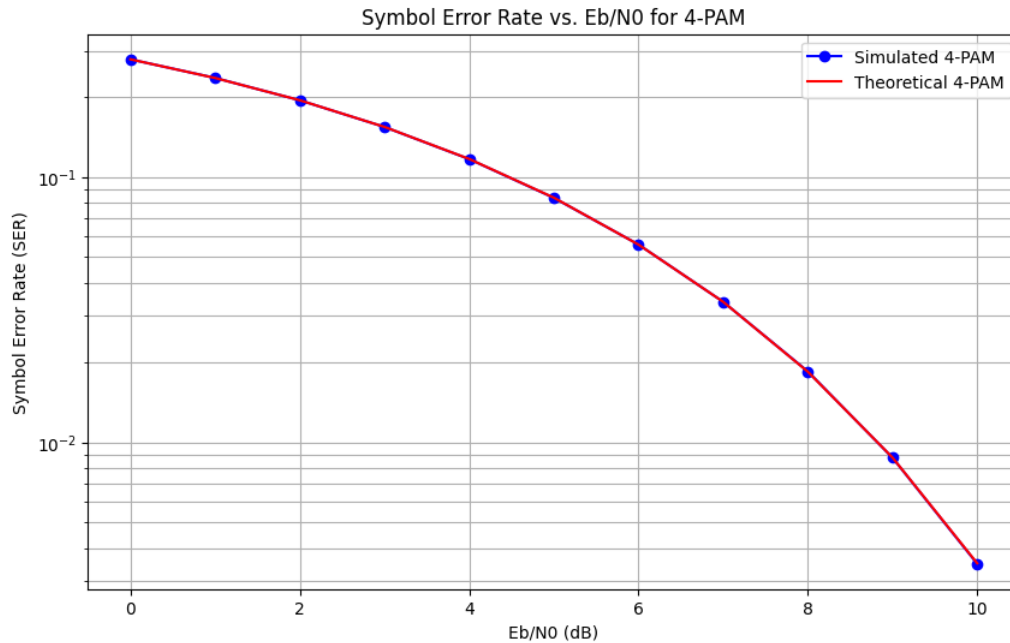


Figura 2: 4-PAM.

(c) 4-QAM

Novamente, para a simulação:

```
1 symbols_constellation = np.array([1+1j, 1-1j, -1+1j, -1-1j])
2 M = 4
3 k = np.log2(M)
4 snr_db_range = np.arange(0, 11, 1)
5 symbol_sequence_length = int(1e5)
6
7 def simulate_ser_4qam(snr_db_range, symbol_sequence_length):
8     ser = []
9     for snr_db in snr_db_range:
10         snr_linear = 10**(snr_db / 10.0)
11         snr_symbol = snr_linear * k
12         energy_symbol = np.mean(np.abs(symbols_constellation)**2)
13         sigma = np.sqrt(energy_symbol/(2*snr_symbol))
14         noise = sigma * (np.random.randn(symbol_sequence_length) + 1j * np.
15             random.randn(symbol_sequence_length))
16         signal = np.random.choice(symbols_constellation, symbol_sequence_length
17             )
18         signal_with_noise = signal + noise
19         signal_demod = []
```

```

18     for symbol in signal_with_noise:
19         distances = np.abs(symbol - symbols_constellation)
20         demod_symbol = symbols_constellation[np.argmin(distances)]
21         signal_demod.append(demod_symbol)
22     signal_demod = np.array(signal_demod)
23     num_errors = np.sum(signal != signal_demod)
24     ser.append(num_errors / symbol_sequence_length)
25     return ser
26
27 simulated_ser = simulate_ser_4qam(snr_db_range, symbol_sequence_length)

```

Para o resultado teórico:

```

1 def P_sqrt_M(M, snr_db):
2     snr_linear = 10**(snr_db / 10.0)
3     Q_arg = np.sqrt((6/(M - 1)) * snr_linear)
4     return 2 * (1 - 1/np.sqrt(M)) * Q(Q_arg)
5
6 def theoretical_ser(M, snr_db):
7     return 1 - (1 - P_sqrt_M(M, snr_db))**2
8
9 theoretical_ser = theoretical_ser(M, snr_db_range)

```

O código de plot:

```

1 plt.figure(figsize=(10, 6))
2 plt.semilogy(snr_db_range, simulated_ser, 'bo-', label='Simulated 4-QAM')
3 plt.semilogy(snr_db_range, theoretical_ser, 'r-', label='Theoretical 4-QAM')
4 plt.grid(True, which='both')
5 plt.xlabel('Eb/N0 (dB)')
6 plt.ylabel('Symbol Error Rate (SER)')
7 plt.title('Symbol Error Rate vs. Eb/N0 for 4-QAM')
8 plt.legend()
9 plt.show()

```

E o resultado:

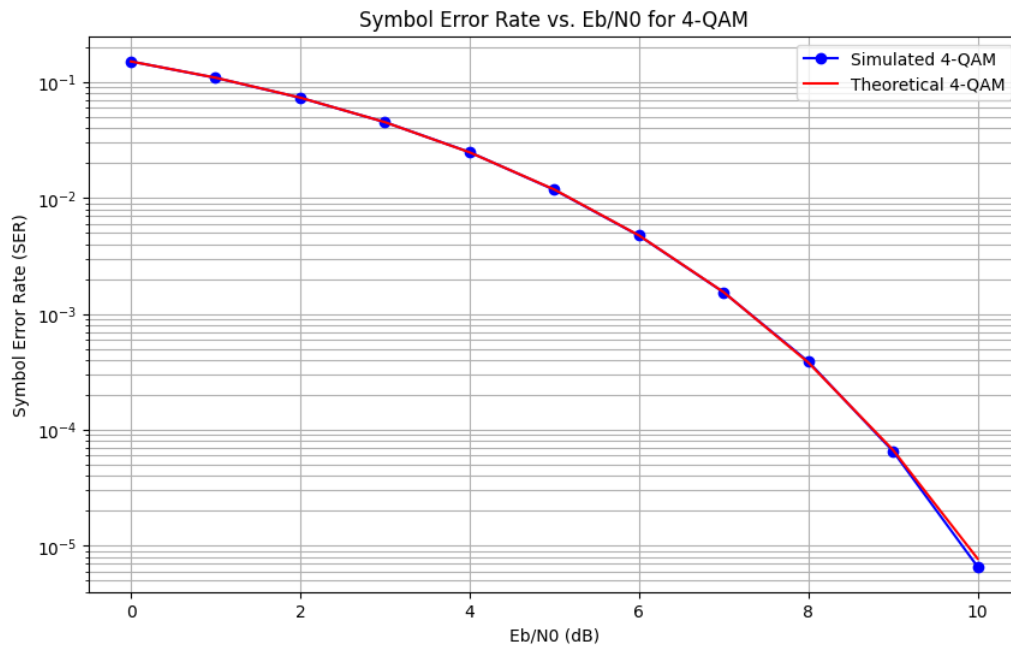


Figura 3: 4-QAM.

Exercício 2

Repita o item (c) do problema anterior para estimar a probabilidade de erro de bit (P_b ou $BER \times E_b/N_0$) utilizando os seguintes mapeamentos: (a) mapeamento natural (00, 01, 10, 11); (b) mapeamento Gray (00, 01, 11, 10)

Para se poder simular a modulação com diversos mapeamentos distintos vamos alterar a rotina do ítem (c) anterior como se segue:

```
1 M = 4
2 k = np.log2(M)
3 snr_db_range = np.arange(0, 11, 0.5)
4 symbol_sequence_length = int(1e6)
5
6 def bits_to_signal(bits, bits_to_symbols):
7     symbols = [bits_to_symbols[tuple(bits[i:i+2])] for i in range(0, len(bits),
8         2)]
9     return np.array(symbols)
10
11 def signal_to_bits(signal, symbols_to_bits):
12     bits = []
13     for symbol in signal:
14         bits.extend(symbols_to_bits[symbol])
```



```

14     return np.array(bits)
15
16 def simulate_ber_4qam(snr_db_range, symbol_sequence_length, bits_to_symbols,
17     symbols_to_bits):
18     ser = []
19     for snr_db in snr_db_range:
20         snr_linear = 10**(snr_db / 10.0)
21         snr_symbol = snr_linear * k
22         energy_symbol = np.mean(np.abs(list(bits_to_symbols.values()))**2)
23         sigma = np.sqrt(energy_symbol/(2*snr_symbol))
24         noise = sigma * (np.random.randn(symbol_sequence_length) + 1j * np.
25             random.randn(symbol_sequence_length))
26         bits = np.random.randint(0, 2, int(symbol_sequence_length * k))
27         signal = bits_to_signal(bits, bits_to_symbols)
28         signal_with_noise = signal + noise
29         signal_demod = []
30         for symbol in signal_with_noise:
31             distances = np.abs(symbol - np.array(list(bits_to_symbols.values())
32                 ))
33             demod_symbol = list(bits_to_symbols.values())[np.argmin(distances)]
34             signal_demod.append(demod_symbol)
35         signal_demod = np.array(signal_demod)
36         bits_demod = signal_to_bits(signal_demod, symbols_to_bits)
37         num_errors = np.sum(bits != bits_demod)
38         ser.append(num_errors / len(bits))
39     return ser

```

Seja agora o mapeamento padrão:

```

1 default_symbols_constellation = np.array([1+1j, 1-1j, -1+1j, -1-1j])
2 default_bits_to_symbols = {
3     (0, 0): 1+1j,
4     (0, 1): 1-1j,
5     (1, 0): -1-1j,
6     (1, 1): -1+1j
7 }
8 default_symbols_to_bits = {v: k for k, v in default_bits_to_symbols.items()}
9
10 simulated_ber_default = simulate_ber_4qam(snr_db_range, symbol_sequence_length,
11     default_bits_to_symbols, default_symbols_to_bits)

```

E o mapeamento de Gray:

```
1 new_bits_to_symbols = {
2     (0, 0): 1+1j,
3     (0, 1): 1-1j,
4     (1, 0): -1+1j,
5     (1, 1): -1-1j
6 }
7 new_symbols_to_bits = {v: k for k, v in new_bits_to_symbols.items()}
8
9 simulated_ber_new = simulate_ber_4qam(snr_db_range, symbol_sequence_length,
    new_bits_to_symbols, new_symbols_to_bits)
```

Plotando os resultados, obtemos:

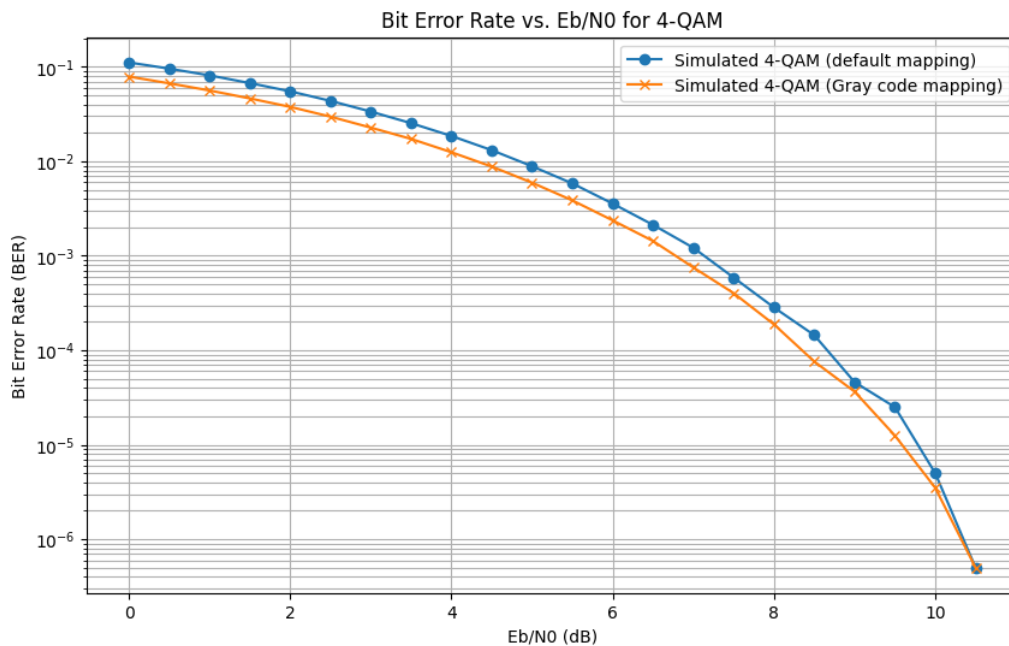


Figura 4: Mapeamento natural e de Gray.

O resultado é condizendo com o esperado, dado que o mapeamento de Gray minimiza a distância entre símbolos quando contraposto ao mapeamento natural, diminuindo levemente o erro de bit.

Projeto

Para a realização das atividades a seguir será necessário o desenvolvimento de uma rotina baseada no algoritmo de Monte Carlo, considerando o uso de protocolo de transmissão adaptativo para diferentes modulações. Considere um modelo de simulação em banda base. Para essa avaliação considere as seguintes modulações: BPSK, QPSK, 8-PSK, 16-QAM e 64-QAM. Para esse cenário, pode-se utilizar funções de modulação/demodulação já existentes no Matlab. O critério de seleção da modulação a ser utilizada é a maximização da eficiência espectral para um desempenho de probabilidade de erro limitante P_e ou P_b , o qual deve ser um parâmetro de entrada da rotina. Considere que a transmissão do sinal é corrompida por um ruído AWGN de média zero e PSD $N_0/2$. A rotina deve ser comentada e documentada. Com os resultados obtidos, responda os itens a seguir.

Para essa etapa do Exame nós vamos lançar mão da facilidade apresentada pelas bibliotecas de (de)modulação prontas do Matlab. Vamos apresentar a ideia do algoritmo e posteriormente sua rotina, cujas partes serão apresentadas e explicadas em seguida.

O critério de escolha da modulação a ser empregada para uma dada taxa de erro (P_e) e razão sinal ruído (E_b/N_0) é a eficiência espectral. Ora, sabemos que maiores eficiências são atingidas para valores crescentes de M . Entretanto, o erro também aumenta na mesma medida. A solução será então partir da modulação com maior valor de M (mais eficiência) e diminuir até achar o primeiro algoritmo que respeite a probabilidade de erro dada (P_e). Para calcular os valores de erro de cada modulação vamos lançar mão das expressões teóricas dos erros.

Seguindo para o código em si, o cálculo dos valores de erro teórico são feitos com as duas funções abaixo, que cobrem as famílias de modulações QAM e PSK:

```
1 % Calculo dos valores teoricos de erro
2 function er = er_qam_theory(M, EbN0, error_type)
3     if nargin < 3
4         error_type = 'ser';
5     end
6
7     EbN0_linear = 10.^(EbN0 / 10);
8     ser = 4 * (1 - 1/sqrt(M)) * qfunc(sqrt(3 * (log2(M)/(M - 1)) * EbN0_linear)
9         );
10    ber = ser / log2(M);
11
12    if error_type == 'ser'
13        er = ser;
14    elseif error_type == 'ber'
15        er = ber;
16    end
```

```

16 end
17
18 function er = er_psk_theory(M, EbN0, error_type)
19     EbN0_linear = 10.^(EbN0 / 10);
20
21     if M == 2
22         er = qfunc(sqrt(2*EbN0_linear)); % BPSK
23         return
24     end
25
26     if nargin < 3
27         error_type = 'ser';
28     end
29
30     ser = 2 * qfunc(sin(pi/M) * sqrt(2 * log2(M) * EbN0_linear));
31     ber = ser / log2(M);
32
33     if error_type == 'ser'
34         er = ser;
35     elseif error_type == 'ber'
36         er = ber;
37     end
38 end

```

A próxima parte importante da rotina é a seleção da modulação e aplicação da mesma, que utilizando as funções acima definidas para auxiliar nessa escolha. Ela aplica diretamente a ideia do algoritmo explicada pouco acima.

```

1 % Funcao que escolhe a melhor modulacao e aplica a mesma
2 function er = metrics_adaptative(data_bits, pe, EbN0, error_type)
3     if nargin < 4
4         error_type = 'ser';
5     end
6
7     if er_qam_theory(64, EbN0, error_type) < pe
8         er = metrics_qam(64, data_bits, EbN0, error_type);
9
10    elseif er_qam_theory(16, EbN0, error_type) < pe
11        er = metrics_qam(16, data_bits, EbN0, error_type);
12

```

```

13     elseif er_psk_theory(8, EbN0, error_type) < pe
14         er = metrics_psk(8, data_bits, EbN0, error_type);
15
16     elseif er_psk_theory(4, EbN0, error_type) < pe
17         er = metrics_psk(4, data_bits, EbN0, error_type);
18
19     else
20         er = metrics_psk(2, data_bits, EbN0, error_type);
21     end
22 end

```

Estabelecida a lógica que escolhe o modulador, resta modular o sinal em si e calcular a taxa de erro:

```

1 % Funcoes responsaveis pela modulacao em si
2 function er = metrics_psk(M, data_bits, EbN0, error_type)
3     if nargin < 4
4         error_type = 'ser';
5     end
6
7     k = log2(M);
8     num_pad_bits = k - mod(length(data_bits), k);
9     data_bits = [data_bits; zeros(num_pad_bits, 1)];
10    data_symbols = bit2int(data_bits, k);
11    tx_symbols = pskmod(data_symbols, M);
12    snr = EbN0 + 10*log10(k);
13    rx_symbols = awgn(tx_symbols, snr, 'measured');
14    data_out_symbols = pskdemod(rx_symbols, M);
15    data_out_bits = int2bit(data_out_symbols, k);
16    [numErrors, ser] = symerr(data_symbols, data_out_symbols);
17    [numErrors, ber] = biterr(data_bits, data_out_bits);
18
19    if error_type == 'ser'
20        er = ser;
21    elseif error_type == 'ber'
22        er = ber;
23    end
24 end
25
26 function er = metrics_qam(M, data_bits, EbN0, error_type)

```

```

27     if nargin < 4
28         error_type = 'ser';
29     end
30
31     k = log2(M);
32     num_pad_bits = k - mod(length(data_bits), k);
33     data_bits = [data_bits; zeros(num_pad_bits, 1)];
34     data_symbols = bit2int(data_bits, k);
35     tx_symbols = qammod(data_symbols, M, 'UnitAveragePower', true);
36     snr = EbN0 + 10*log10(k);
37     rx_symbols = awgn(tx_symbols, snr, 'measured');
38     data_out_symbols = qamdemod(rx_symbols, M, 'UnitAveragePower', true);
39     data_out_bits = int2bit(data_out_symbols, k);
40     [numErrors, ser] = symerr(data_symbols, data_out_symbols);
41     [numErrors, ber] = biterr(data_bits, data_out_bits);
42
43     if error_type == 'ser'
44         er = ser;
45     elseif error_type == 'ber'
46         er = ber;
47     end
48 end

```

A função acima simplesmente modula o sinal utilizando uma das duas famílias de modulação. Repare que além dos parâmetros usuais (M , $data$ e SNR) ela também recebe o *tipo de erro* que se quer calcular, podendo ser o *SER* (*Symbol Error Rate*) ou o *BER* (*Bit Error Rate*).

Por fim, segue a rotina responsável por plotar uma simulação completa do comunicador adaptativo:

```

1 % Plota a simulacao adaptativa
2 function plot_adaptative(data, EbN0, pe, error_type, vlim)
3     if nargin < 5
4         vlim = [10.^(-6) 10.^(0)];
5     end
6
7     er = zeros(1, length(EbN0));
8
9     for i = 1:length(EbN0)
10         er(i) = metrics_adaptative(data, pe, EbN0(i), error_type);
11     end

```

```

12
13 er_64qam_theory = er_qam_theory(64, EbN0, error_type); % 64-QAM
14 er_16qam_theory = er_qam_theory(16, EbN0, error_type); % 16-QAM
15 er_8psk_theory = er_psk_theory(8, EbN0, error_type); % 8-PSK
16 er_qpsk_theory = er_psk_theory(4, EbN0, error_type); % QPSK
17 er_bpsk_theory = er_psk_theory(2, EbN0); % BPSK
18
19 figure;
20 semilogy(EbN0, er_64qam_theory, 'o-', 'DisplayName', 'Teorico 64-QAM');
21 hold on;
22 semilogy(EbN0, er_16qam_theory, 'o-', 'DisplayName', 'Teorico 16-QAM');
23 hold on;
24 semilogy(EbN0, er_8psk_theory, 'o-', 'DisplayName', 'Teorico 8-PSK');
25 hold on;
26 semilogy(EbN0, er_qpsk_theory, 'o-', 'DisplayName', 'Teorico QPSK');
27 hold on;
28 semilogy(EbN0, er_bpsk_theory, 'o-', 'DisplayName', 'Teorico BPSK');
29 hold on;
30 semilogy(EbN0, er, 'o-', 'DisplayName', 'Adaptativo');
31 hold on;
32 yline(pe, 'r', 'LineWidth', 1.2, 'DisplayName', 'Erro limite');
33 ylim(vlim);
34 xlabel('E_b/N_0 (dB)');
35
36 if error_type == 'ser'
37     text1 = Taxa de Erro de Simbolo (SER);
38     text2 = Simbolo;
39 else
40     text1 = Taxa de Erro de Bit (BER);
41     text2 = Bit;
42 end
43
44 ylabel(text1);
45 legend show;
46 title(Taxa de Erro de + text2);
47 grid on;
48 end

```

Exercício 3

Apresente o gráfico de $SER \times E_b/N_0$ para os seguintes desempenhos de probabilidade de erro de símbolo limitante $P_e = 10^{-2}$, $P_e = 10^{-3}$ e $P_e = 10^{-4}$.

Para calcular os valores pedidos vamos lançar mão das funções já apresentadas e do seguinte trecho de código:

```
1 % Parmetros
2 num_bits = 1000000; % N mero de smbolos a serem transmitidos
3 data = randi([0 1], num_bits, 1);
4 EbN0 = 0:0.2:20; % Valores de Eb/N0 em dB
5 Pe = [10.^(-2), 10.^(-3), 10.^(-4)];
6
7 for i = 1:length(Pe)
8     plot_adaptative(data, EbN0, Pe(i), 'ser');
9 end
```

Os gráficos gerados foram:

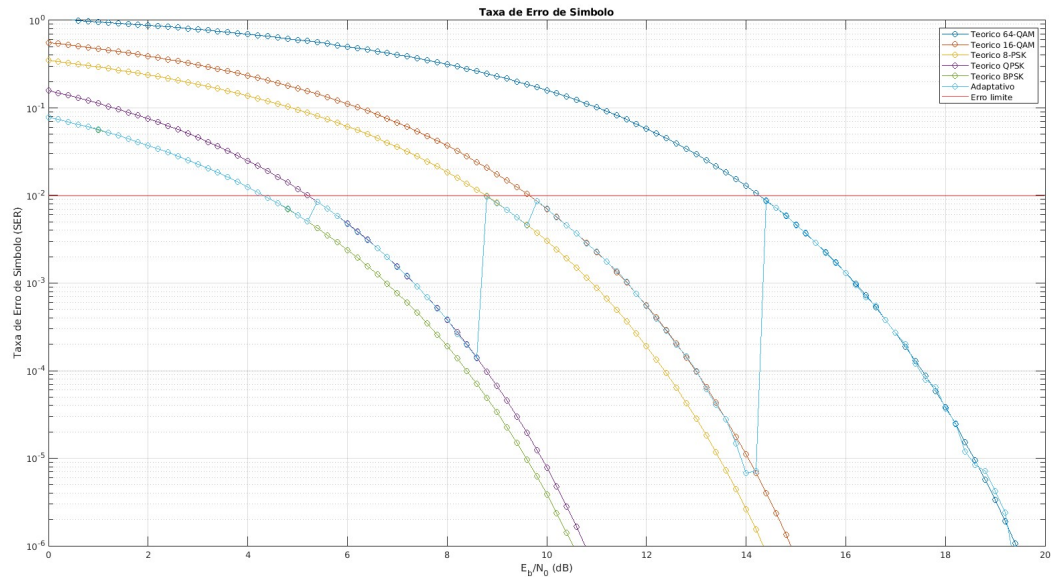


Figura 5: SER com $P_e = 10^{-2}$.

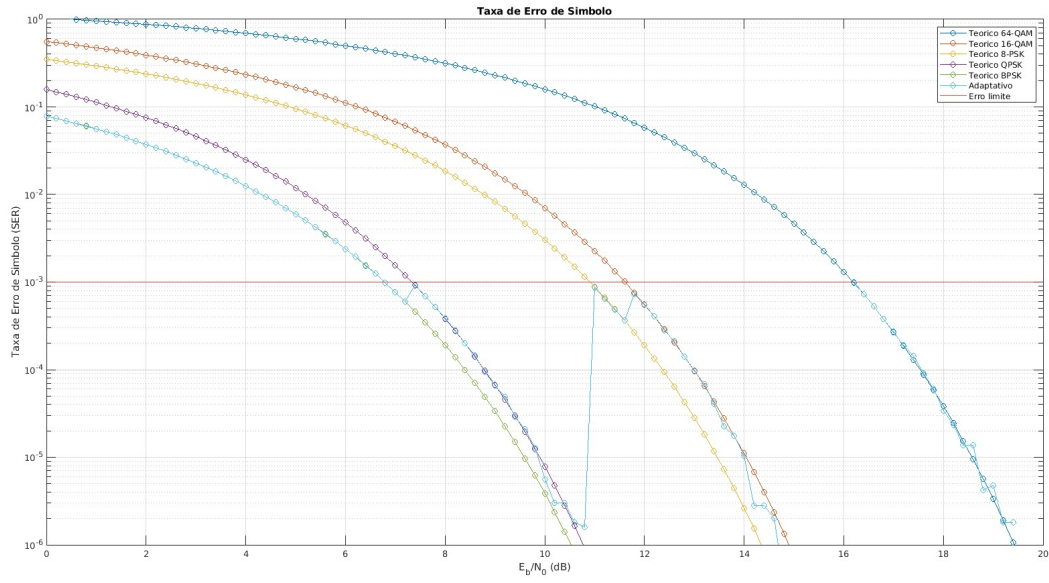


Figura 6: SER com $P_e = 10^{-3}$.

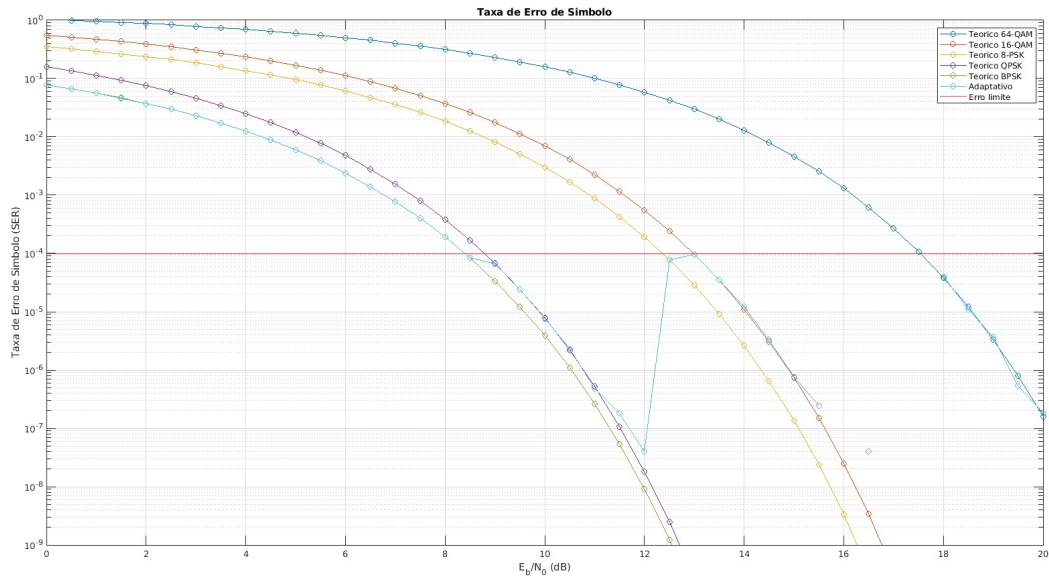


Figura 7: SER com $P_e = 10^{-4}$.

O último gráfico (Figura 7) não apresentou o melhor resultado, com quebras entre os pontos do transmissor adaptativo pois não se atingiu a precisão suficiente. Para melhorá-lo deveríamos simular com um número maior de iterações no Método de Monte Carlo. Apesar disso é possível perceber que seu aspecto está correto.

Exercício 4

Apresente o gráfico de $SER \times E_b/N_0$ para os seguintes desempenhos de probabilidade de erro de símbolo limitante $P_e = 10^{-2}$, $P_e = 10^{-3}$ e $P_e = 10^{-4}$.

De forma análoga ao exercício anterior e lançando mão da modularidade das funções implementadas, temos o seguinte código para o cálculo do BER :

```
1 % Parmetros
2 num_bits = 1000000; % N mero de smbolos a serem transmitidos
3 data = randi([0 1], num_bits, 1);
4 EbN0 = 0:0.2:20; % Valores de Eb/N0 em dB
5 Pe = [10.^(-2), 10.^(-3), 10.^(-4)];
6
7 for i = 1:length(Pe)
8     plot_adaptative(data, EbN0, Pe(i), 'ber');
9 end
```

Os gráficos obtidos foram então:

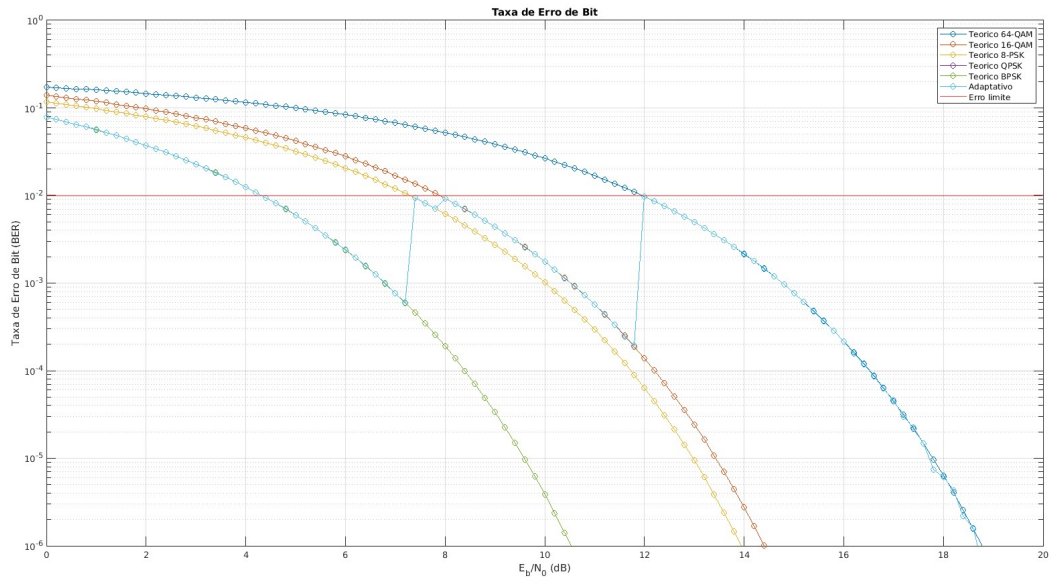


Figura 8: BER com $P_e = 10^{-2}$.

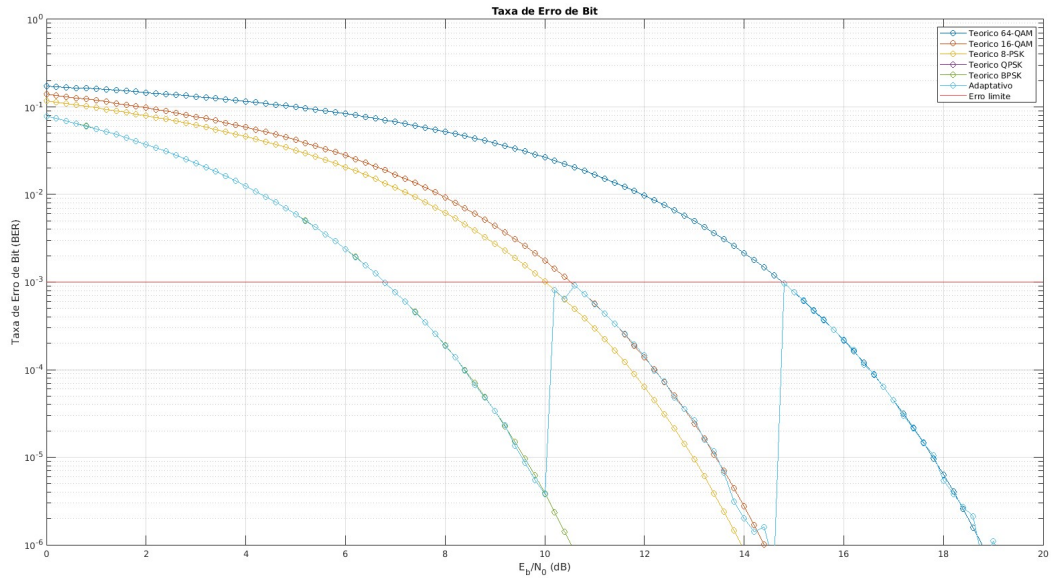


Figura 9: BER com $P_e = 10^{-3}$.

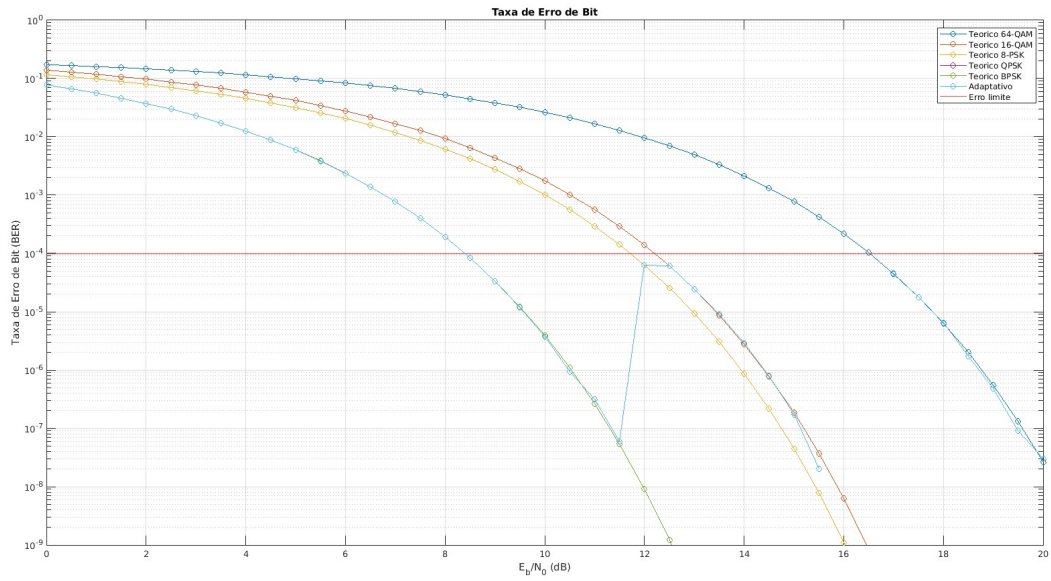


Figura 10: BER com $P_e = 10^{-4}$.

Analogamente à questão anterior, o último gráfico (figura 10) não apresentou uma precisão satisfatória para o número de iterações empregadas. Podemos notar também que as modulações *QPSK* e *BPSK* possuem a mesma taxa de erro de bit teóricas. Além disso, é possível perceber que em geral para um mesmo nível de sinal ruído (E_b/N_0) a taxa de erro simbólico é maior do que a taxa de erro de bit.

Exercício 5

A partir do resultado do exercício 3, considerando o caso em que $P_e = 10^{-4}$, quais são as faixas de operação, em termos de E_b/N_0 , para cada uma das modulações consideradas.

Considerando o Exercício 3 podemos ver que para o erro dado a modulação *BPSK* perdura de $E_b/N_0 = 0$ até 8,5, a modulação *QPSK* vai de 8,5 até 12, a modulação *8-PSK* vai de 12 até 12,5, a modulação *16-QAM* vai de 12,5 até 17,5, e a modulação *64-QAM* atua daí em diante.

Exercício 6

A partir do resultado do Exercício 4 e considerando $P_b = 10^{-3}$ e as razões $E_b/N_0 = [4 \text{ dB}, 8 \text{ dB}, 12 \text{ dB}, 16 \text{ dB}]$, quais modulações são utilizadas para cada um desses casos.

Para 4 dB e 8 dB a modulação utilizada deve ser a *QPSK* (maior eficiência espectral), para 12 dB deve-se utilizar a modulação *16-QAM* e para 24 dB a *64-QAM*.

Referências

HAYKIN SIMON MOHER, M. **Introduction to Analog and Digital Communications**. [S.l.]: Wiley New York, 2006.